



Universidade Federal do ABC

UFABC – UNIVERSIDADE FEDERAL DO ABC
CECS – CENTRO DE ENGENHARIA, MODELAGEM E CIÊNCIAS
SOCIAIS APLICADAS
ENGENHARIA AEROESPACIAL

ESTS010-17 - TÉCNICAS DE ANÁLISE ESTRUTURAL E PROJETO

-Terceiro Quadrimestre – 2022 -

Prof. Dr. Wesley Góis – CECS - UFABC
São Bernardo do Campo, setembro de 2022

1. Teoria de Falhas

Projetos de máquinas, veículos e estruturas buscam:

- *Níveis máximos de desempenho;*
- *Economia;*
- *Segurança;*
- *Durabilidade.*

A fim de assegurar segurança, durabilidade e bom desempenho, é necessário que sejam evitados principalmente:

- *Tensões e deformações excessivas;*
- *Surgimento de trincas (propagação e fratura).*
- O **comportamento mecânico dos materiais** é o estudo das tensões, deformações e trincas nesses materiais.

Critérios de Resistência



Universidade Federal do ABC

PROJETO ESTRUTURAL DE UM COMPONENTE: a fim de evitar falhas estruturais, deve garantir que a tensão no componente não exceda a RESISTÊNCIA DO MATERIAL.

RESISTÊNCIA DO MATERIAL: nível de tensão que causa falha, qualquer que seja o mecanismo da falha.

CONSIDERAÇÕES EM UM PROJETO ESTRUTURAL:

- Entre outras, as seguintes considerações devem ser feitas durante um projeto estrutural:
 - Estados de tensão uni-axiais, bi-axiais ou tri-axiais;
 - Presença de falhas ou trincas de diversos tamanhos;
 - Tensões aplicadas por períodos longos (carga estática);
 - Tensões aplicadas ciclicamente (fadiga).

Cr terios de Resist ncia



Universidade Federal do ABC

TIPOS DE FALHAS ESTRUTURAIS:

FALHA POR DEFORMA  O: modifica  o da forma ou dimens  es de um componente estrutural suficiente para causar perda de sua fun  o;

FRATURA: quebra de um componente em duas ou mais partes devido   presen  a de trincas.

MODOS B SICOS DE FALHA ESTRUTURAL:

Deforma  o:

Independente
do tempo:

- El stica
- Pl stica

Dependente
do tempo:

- Flu ncia

Fratura:

Carregamento
est tico:

- Fr gil
- D til
- Ambiental
- Flu ncia

Carregamento
c clico (fadiga):

- Alto ciclo
- Baixo ciclo
- Propaga  o por fadiga
- Corros o por fadiga

Cr terios de Resist ncia

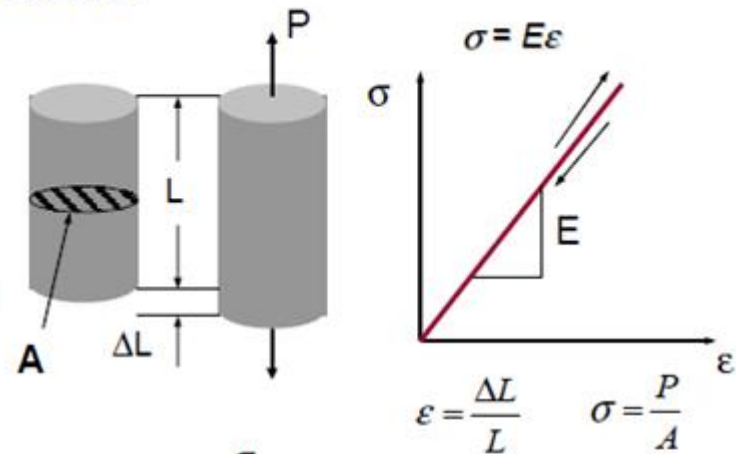


Universidade Federal do ABC

DEFORMA  ES EL STICAS E PL STICAS:

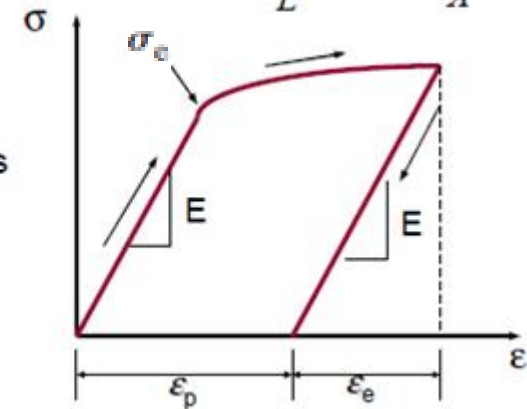
DEFORMA  ES EL STICAS

- Recupera  o imediatamente ap s a remo  o do carregamento
- Tens es e deforma  es proporcionais
- Constante de proporcionalidade para tens o axial: M DULO DE ELASTICIDADE (E)



DEFORMA  ES PL STICAS

- N o s o recuperadas durante o descarregamento \rightarrow s o deforma  es permanentes.
- In cio das deforma  es pl sticas (ESCOAMENTO) \rightarrow pequenos acr scimos de tens es resultam em grandes aumentos de deforma  es.
- Tens o de escoamento (nota  o): σ_e



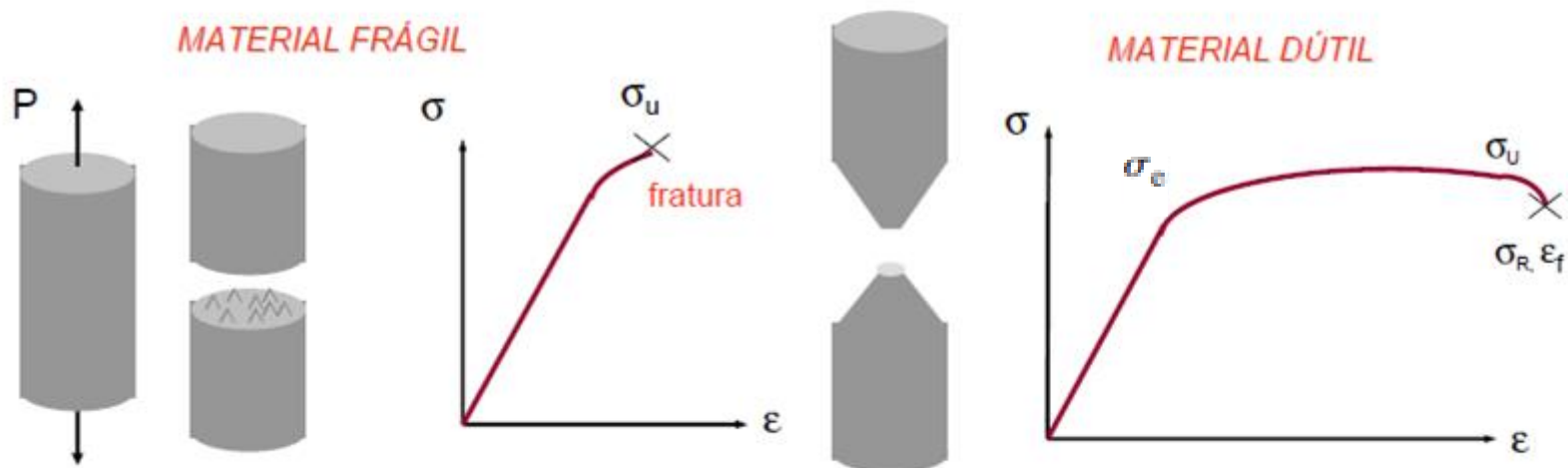
Crítérios de Resistência

TIPOS DE MATERIAIS:

DÚTEIS: materiais capazes de acumular níveis elevados de deformação plástica (ex: aços de baixa resistência, cobre, chumbo etc.)

FRÁGEIS: fraturam com baixos níveis de deformação plástica (aços de alta resistência, vidro, pedra, acrílico etc.)

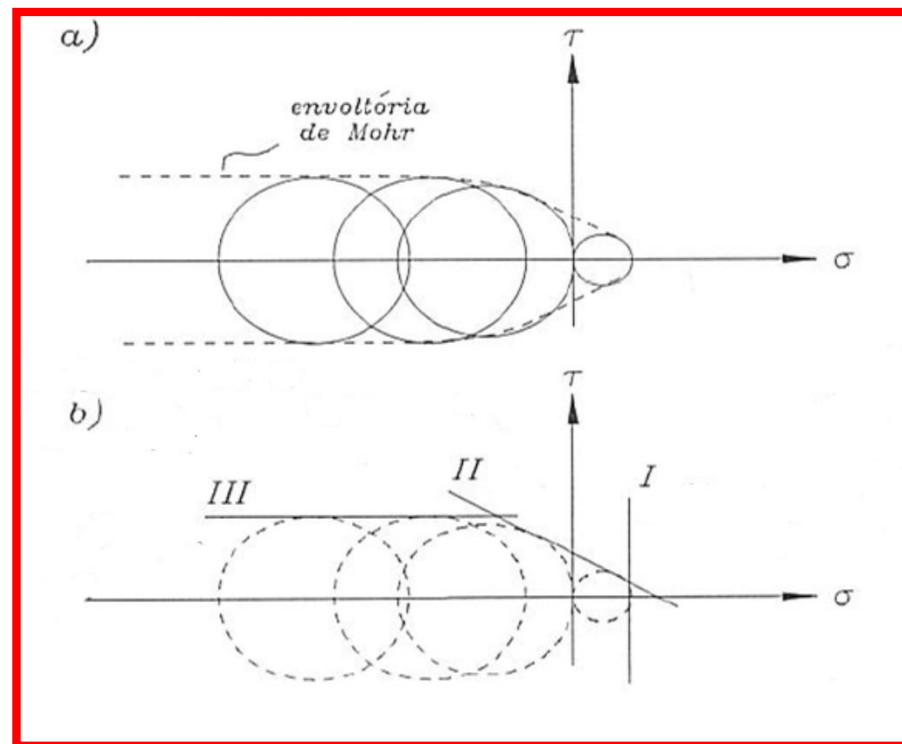
ENSAIOS DE TRAÇÃO: avaliação da resistência e da ductibilidade de materiais.



Do ensaio obtém-se: tensão de escoamento (σ_e), tensão máxima (σ_u), tensão de ruptura (σ_R) e deformação específica na ruptura ("elongation" – ϵ_f)

Cr terios de Resist ncia

1.1 Envolt ria de Mohr



Falha para material *d ctil* ocorre pelo escoamento, ao passo que se for *fr gil*, isso ocorrer  pela *ruptura*.

Crítérios de Resistência

1.2 Critério da máxima tensão normal

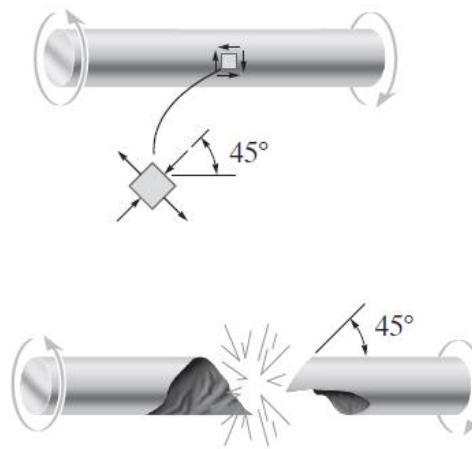
- **Teoria da tensão normal máxima** afirma que esses materiais tendem a falhar repentinamente por ruptura, quando ocorre a tensão de tração máxima.

$$\begin{aligned} |\sigma_1| &= \sigma_r \\ |\sigma_2| &= \sigma_r \end{aligned}$$



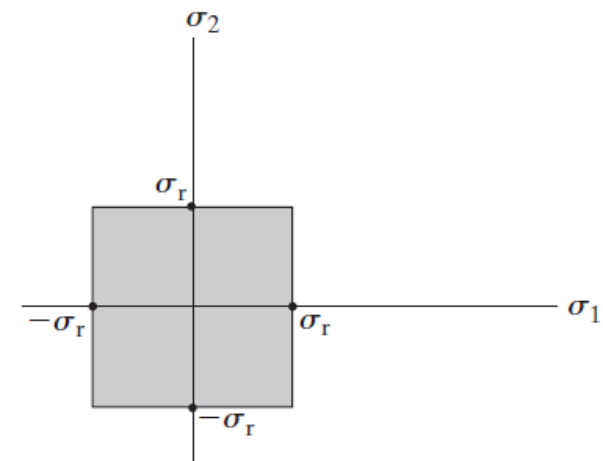
Falha de um material frágil sob tração

(a)



Falha de um material frágil sob torção

(b)



Teoria da tensão normal máxima

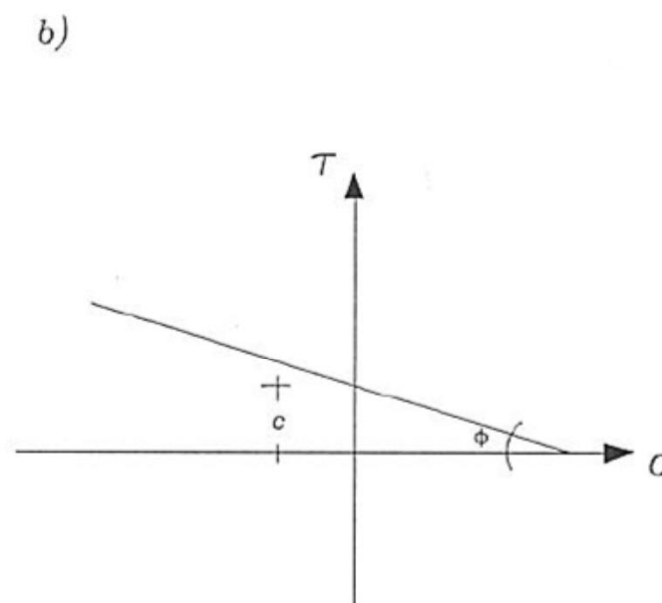
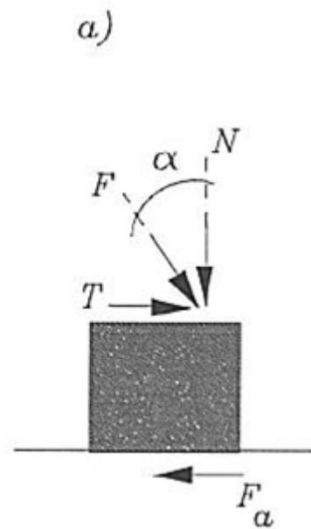
1.3 Critério de Mohr-Coulomb

- Este critério deriva da adoção do trecho II da envoltória de Mohr linearizada como limitante de estados de tensão admissíveis. Portanto, a combinação das tensões normal e de cisalhamento é a responsável pela ruptura.
- ***A proporcionalidade entre as componentes de tensão, admitida pelo critério, é bastante razoável e pode ser justificada pela analogia com o modelo simples de escorregamento de um sólido sobre uma superfície com atrito.***

Cr terios de Resist ncia

$$N = -F \cos \alpha \quad ; \quad T = F \sin \alpha$$

$$F_a = \mu N = -\mu F \cos \alpha$$



a) escorregamento do s lido com atrito
b) envolt ria linearizada.

Cr terios de Resist ncia

$$F_a = \mu N = -\mu F \cos \alpha$$



For a de atrito

$$F \sin \alpha = -\mu F \cos \alpha \quad \rightarrow \quad -\tan \alpha = \mu$$

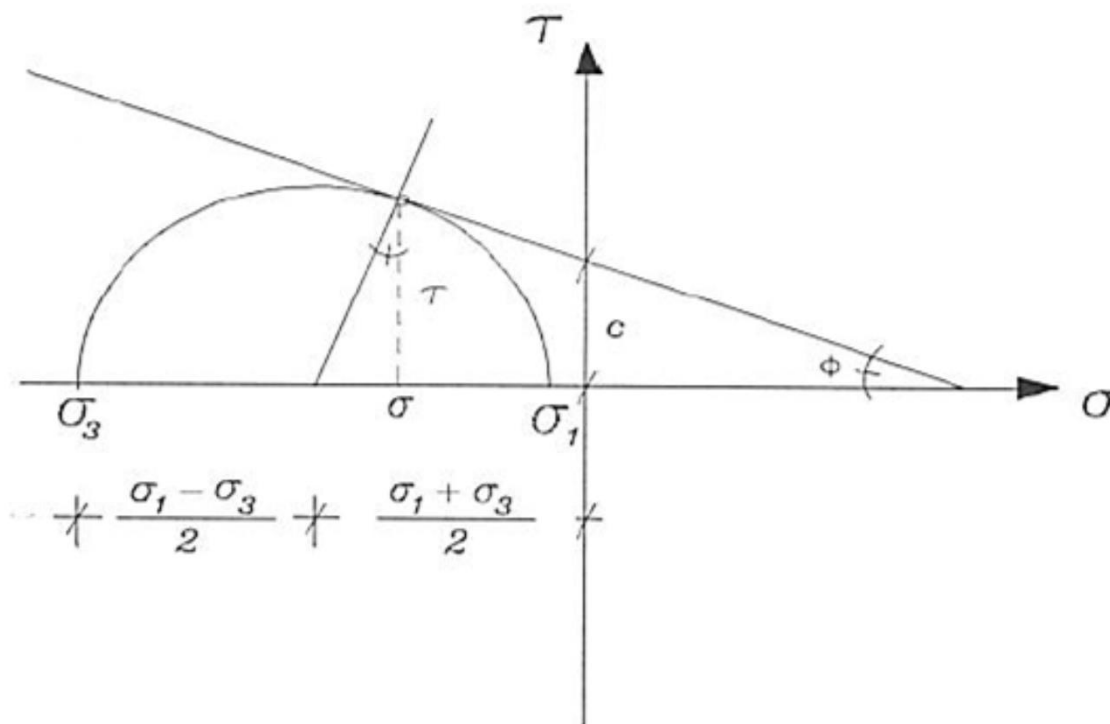
$$= - \tan$$

$$\leq - \tan() \quad \leq - \tan() + c$$

Critérios de Resistência



Universidade Federal do ABC



Estado de tensão crítico genérico

Cr terios de Resist ncia



Universidade Federal do ABC

$$\tau = -\frac{(\sigma_3 - \sigma_1)}{2} \cos \phi$$

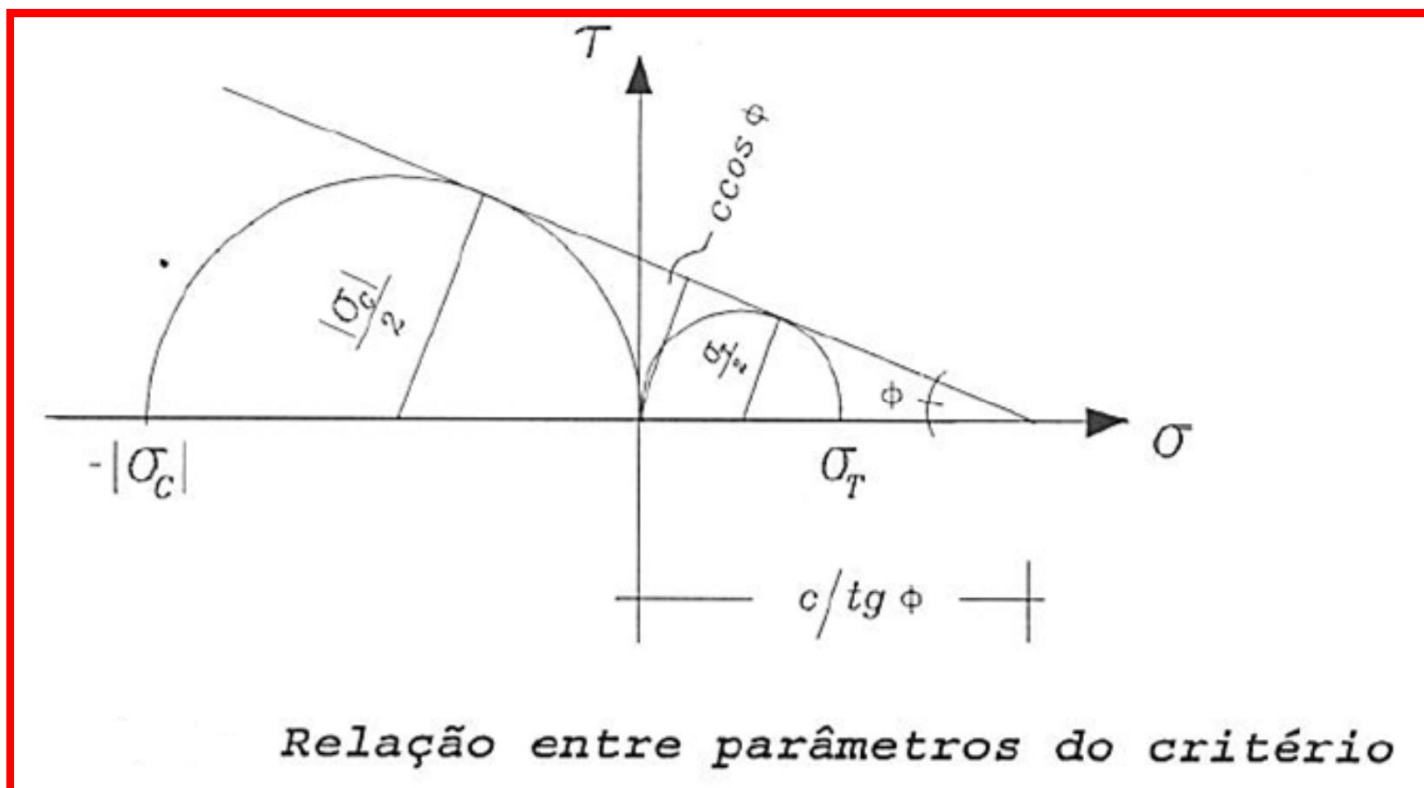
$$\sigma = \frac{(\sigma_3 + \sigma_1)}{2} - \frac{(\sigma_3 - \sigma_1)}{2} \sin \phi$$

$$\frac{\sigma_1 (1 + \sin \phi)}{2c \cos \phi} - \frac{\sigma_3 (1 - \sin \phi)}{2c \cos \phi} \leq 1$$

Cr terios de Resist ncia



Universidade Federal do ABC



Cr terios de Resist ncia



Universidade Federal do ABC

$$\operatorname{sen} \phi = \frac{\sigma_T}{2 \left(\frac{c}{\operatorname{tg} \phi} - \frac{\sigma_T}{2} \right)} \quad ; \quad \operatorname{sen} \phi = \frac{|\sigma_C|}{2 \left(\frac{c}{\operatorname{tg} \phi} + \frac{|\sigma_C|}{2} \right)}$$

$$\sigma_T = \frac{2c \cos \phi}{(1 + \operatorname{sen} \phi)} \quad ; \quad |\sigma_C| = \frac{2c \cos \phi}{(1 - \operatorname{sen} \phi)}$$

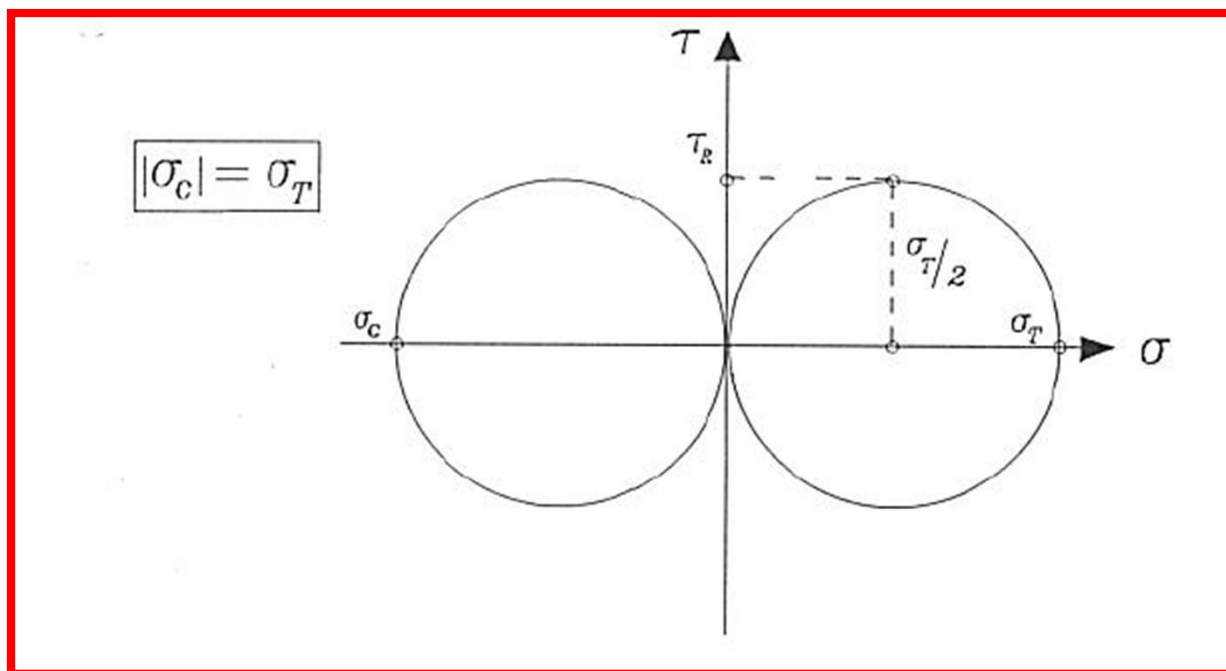
$$\frac{\sigma_1}{\sigma_T} - \frac{\sigma_3}{|\sigma_C|} \leq 1$$

$$m \frac{\sigma_1}{|\sigma_C|} - \frac{\sigma_3}{|\sigma_C|} \leq 1 \quad \text{sendo} \quad m = \frac{|\sigma_C|}{\sigma_T}$$

1.4 Critério de Tresca

- O *escoamento do material dúctil*, acontece ao longo dos planos de contato dos cristais orientados aleatoriamente e que formam o material.
- ***Este critério aplica-se a materiais dúcteis, que tenham as resistência à tração e à compressão uniaxiais praticamente iguais. Ele também deriva da analogia com o trecho III da envoltória de Mohr linearizada, adotado como limitante de estados de tensão admissíveis pelo material. Portanto, estados hidrostáticos de tensão não levam à ruptura, sendo a mesma provocada pela tensão de cisalhamento ou, de outro modo, por desvios daqueles estados.***

Cr terios de Resist ncia



$$\frac{\sigma_1 - \sigma_3}{2} \leq \tau_R$$

$$\sigma_1 - \sigma_3 \leq \sigma_T$$

Cr terios de Resist ncia



Universidade Federal do ABC

$$(\sigma_y = \sigma_z = \tau_{xz} = \tau_{yz} = 0)$$

$$\sigma_1 = \frac{\sigma_x}{2} + \sqrt{\left(\frac{\sigma_x}{2}\right)^2 + \tau_{xy}^2}$$

$$\sigma_3 = \frac{\sigma_x}{2} - \sqrt{\left(\frac{\sigma_x}{2}\right)^2 + \tau_{xy}^2}$$

$$\sigma_i = 2\sqrt{\left(\frac{\sigma_x}{2}\right)^2 + \tau_{xy}^2} = \sqrt{\sigma_x^2 + 4\tau_{xy}^2} \leq \sigma_T$$

1.4 Critério de von Mises

- O critério de von Mises, ou Critério da Máxima Energia de Distorção, é também dedicado à análise dos materiais de comportamento dúctil.
- **Analogamente ao critério de Tresca, postula-se que estados hidrostáticos de tensão não provocam ruptura. Esta acontece quando a energia de distorção capaz de ser absorvida no processo de deformação atinge um valor limite de referência.**

Cr terios de Resist ncia



Universidade Federal do ABC

$$\begin{bmatrix} \sigma_1 & 0 & 0 \\ 0 & \sigma_2 & 0 \\ 0 & 0 & \sigma_3 \end{bmatrix} = [A] + [B] = \begin{bmatrix} \sigma_m & 0 & 0 \\ 0 & \sigma_m & 0 \\ 0 & 0 & \sigma_m \end{bmatrix} + \begin{bmatrix} \sigma_1 - \sigma_m & 0 & 0 \\ 0 & \sigma_2 - \sigma_m & 0 \\ 0 & 0 & \sigma_3 - \sigma_m \end{bmatrix}$$

$$\begin{bmatrix} \varepsilon_1 & 0 & 0 \\ 0 & \varepsilon_2 & 0 \\ 0 & 0 & \varepsilon_3 \end{bmatrix} = [C] + [D] = \begin{bmatrix} \varepsilon_m & 0 & 0 \\ 0 & \varepsilon_m & 0 \\ 0 & 0 & \varepsilon_m \end{bmatrix} + \begin{bmatrix} \varepsilon_1 - \varepsilon_m & 0 & 0 \\ 0 & \varepsilon_2 - \varepsilon_m & 0 \\ 0 & 0 & \varepsilon_3 - \varepsilon_m \end{bmatrix}$$

Cr terios de Resist ncia



Universidade Federal do ABC

$$u = \frac{I}{2}(\sigma_1 \varepsilon_1 + \sigma_2 \varepsilon_2 + \sigma_3 \varepsilon_3) = u_V + u_D$$

$$u_D = \frac{I}{2}[(\sigma_1 - \sigma_m) \cdot (\varepsilon_1 - \varepsilon_m) + (\sigma_2 - \sigma_m) \cdot (\varepsilon_2 - \varepsilon_m) + (\sigma_3 - \sigma_m) \cdot (\varepsilon_3 - \varepsilon_m)]$$

$$\varepsilon_1 = \frac{I}{E}[\sigma_1 - \nu(\sigma_2 + \sigma_3)] \quad ; \quad \varepsilon_2 = \frac{I}{E}[\sigma_2 - \nu(\sigma_1 + \sigma_3)]$$

$$\varepsilon_3 = \frac{I}{E}[\sigma_3 - \nu(\sigma_2 + \sigma_1)]$$

$$u_D = \frac{I + \nu}{6E}[(\sigma_1 - \sigma_2)^2 + (\sigma_1 - \sigma_3)^2 + (\sigma_2 - \sigma_3)^2]$$

Critérios de Resistência



Universidade Federal do ABC

$$\sigma_1 = \sigma_T ; \sigma_2 = \sigma_3 = 0$$

$$u_D = \frac{1+\nu}{6E} [(\sigma_T)^2 + (\sigma_T)^2] = \frac{1+\nu}{3E} \sigma_T^2$$

$$\frac{1+\nu}{6E} [(\sigma_1 - \sigma_2)^2 + (\sigma_1 - \sigma_3)^2 + (\sigma_2 - \sigma_3)^2] \leq \frac{1+\nu}{3E} \sigma_T^2$$

$$\frac{1}{2} [(\sigma_1 - \sigma_2)^2 + (\sigma_1 - \sigma_3)^2 + (\sigma_2 - \sigma_3)^2] \leq \sigma_T^2$$

$$\sigma_i = \sqrt{\sigma_x^2 + 3\tau_{xy}^2} \leq \sigma_T$$

Fadiga sob Efeito de Cargas C clicas

Fadiga   o processo que conduz   falha do material pela aplica  o repetida de um determinado carregamento. A preven  o de fratura por fadiga   uma preocupa  o essencial no projeto de m quinas e elementos estruturais.

Fadiga de Alto Ciclo: o n  de repeti  es (ciclos) necess rias para causar falha por fadiga   da ordem de *milh es de ciclos*. Deforma  es el sticas s o predominantes. A abordagem utilizada   a *S-N* (“stress-life”)

Fadiga de Baixo Ciclo: o n  de repeti  es (ciclos) necess rias para causar falha por fadiga   da ordem de *dezenas, centenas ou milhares de ciclos*. As deforma  es pl sticas ser o significativas. A abordagem utilizada   a *ϵ -N* (“strain-life”)